

(PRIOR ART)

FIG. 1

Fig. 7

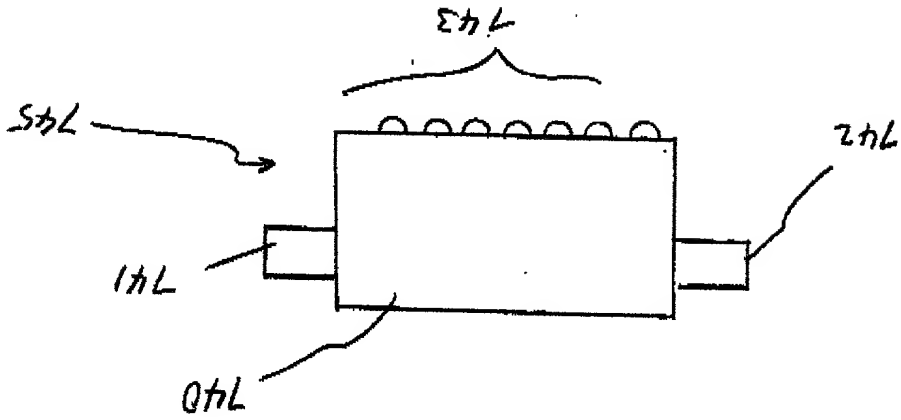
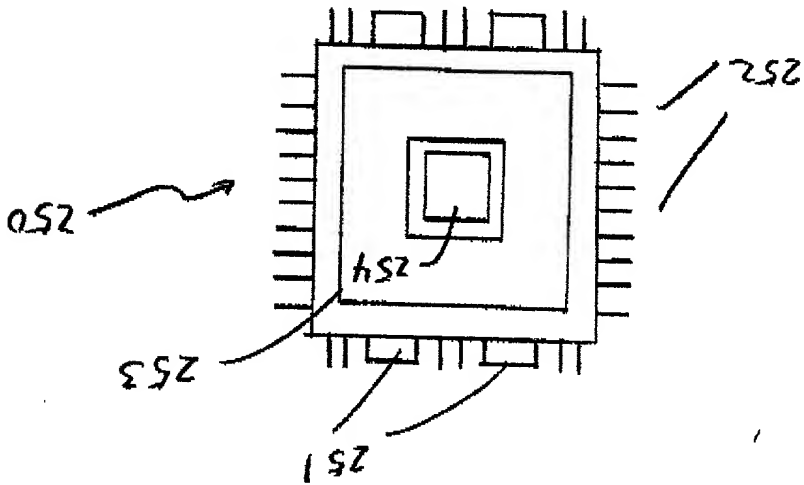
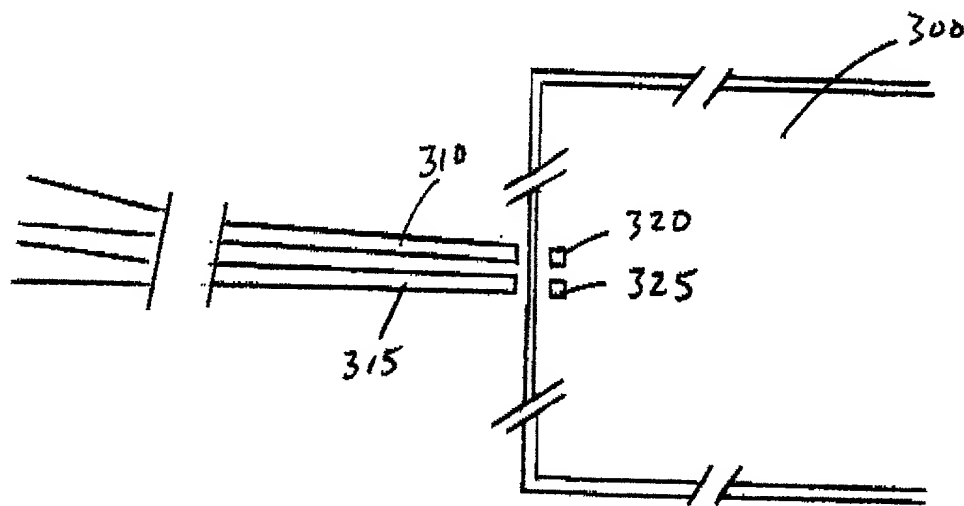
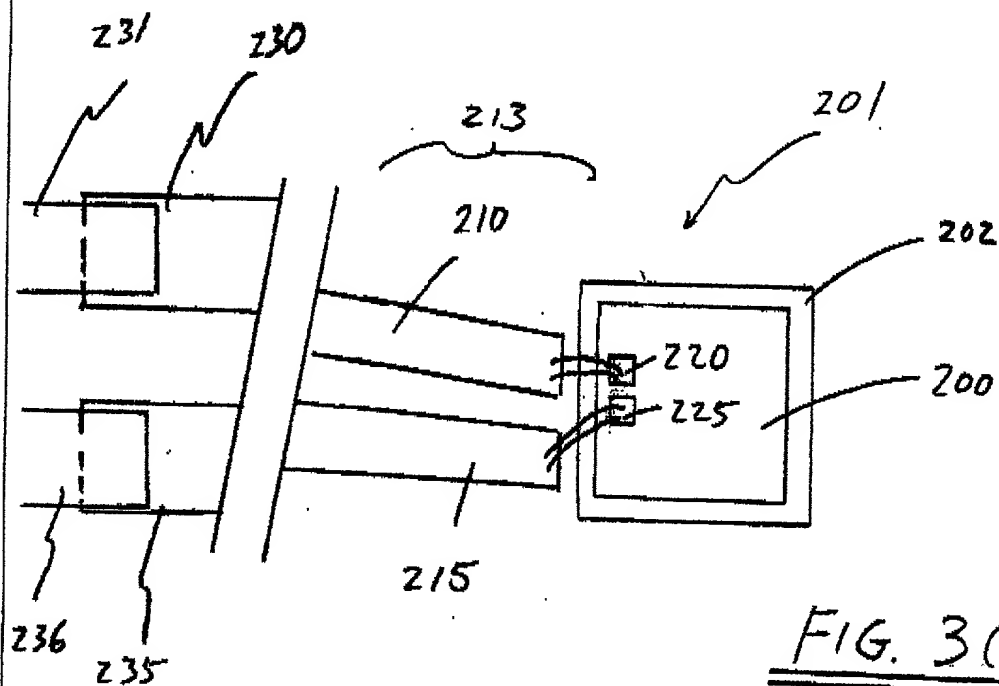
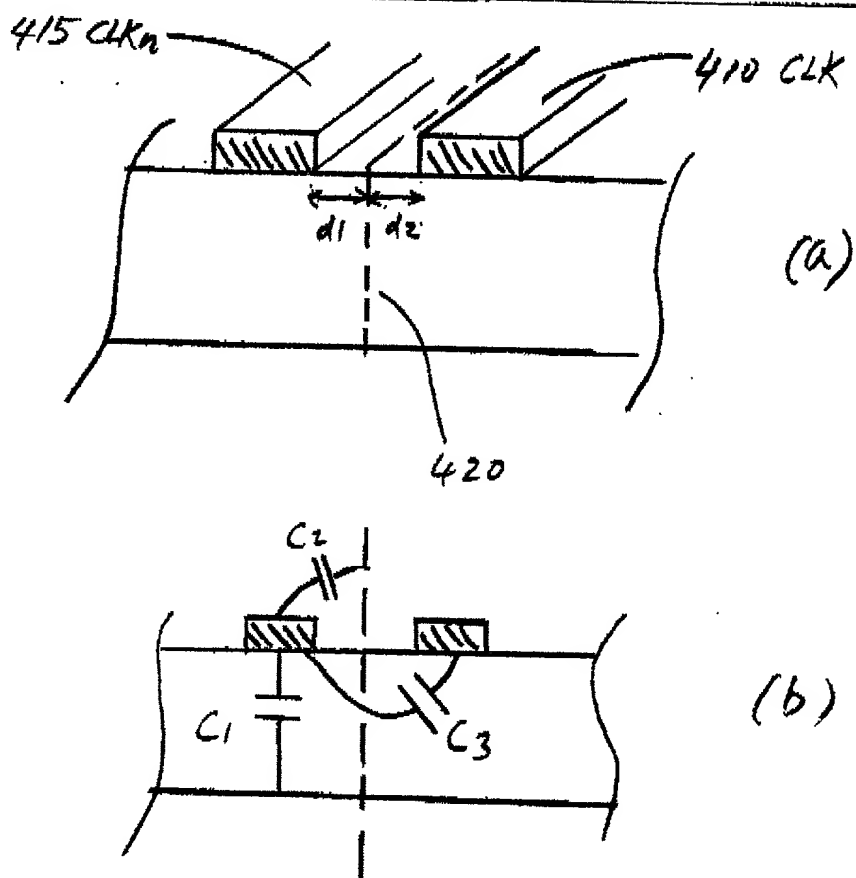
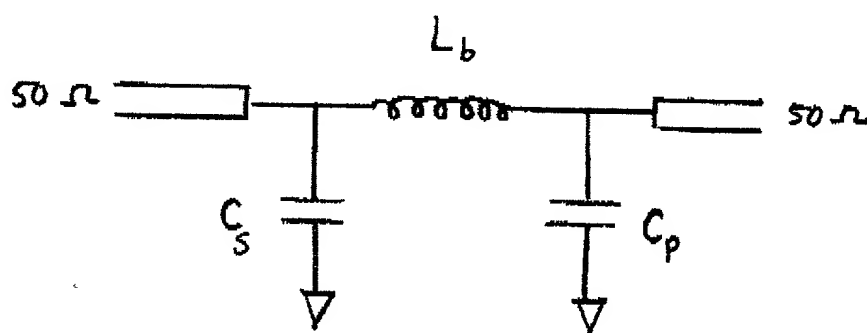


Fig. 2





FIG. 4FIG. 5

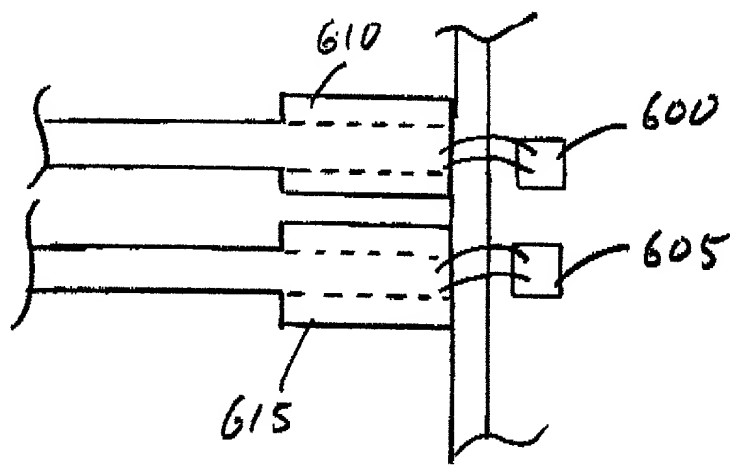


FIG. 6

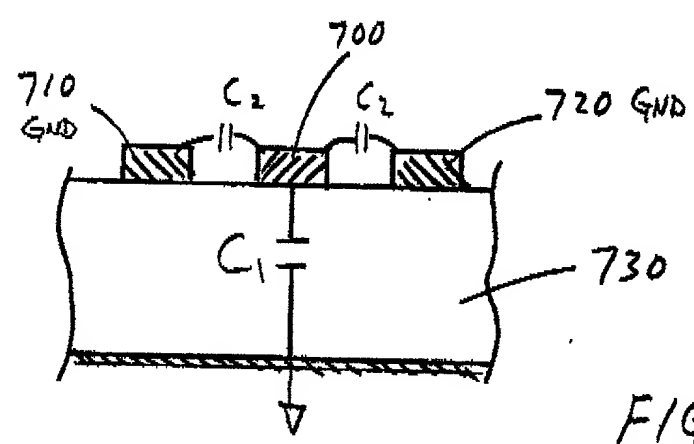
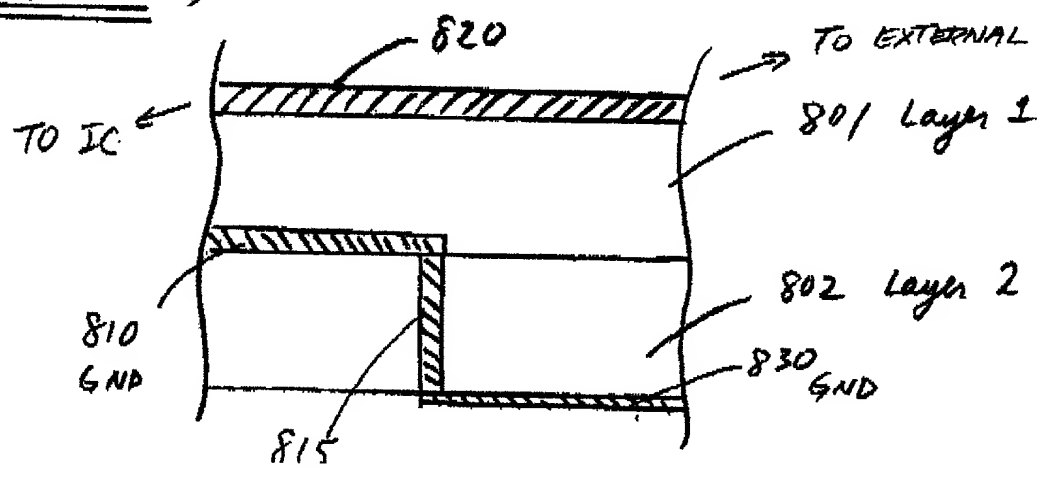


FIG. 8

FIG. 9(a)



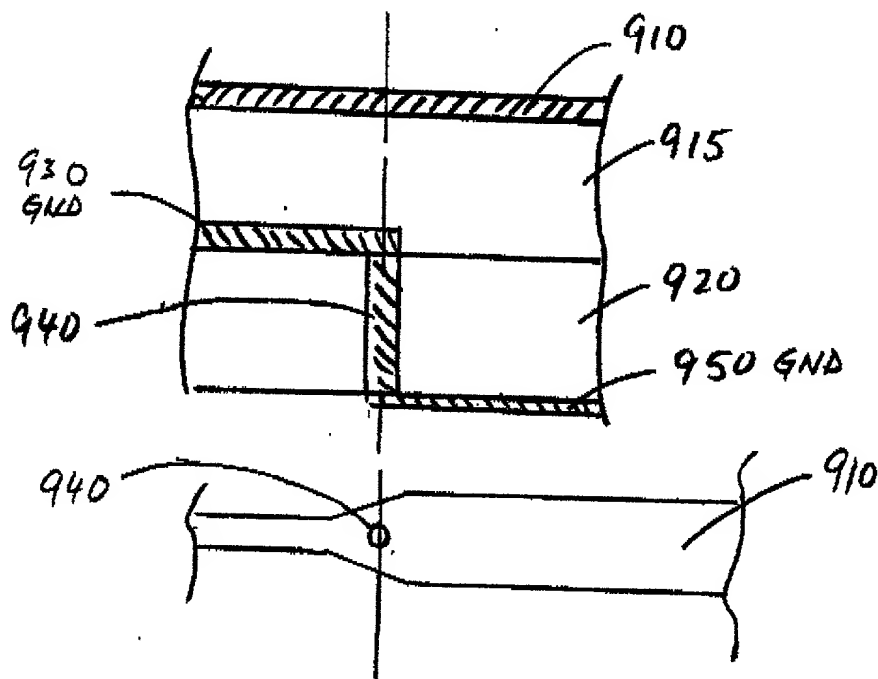


FIG. 9(b)

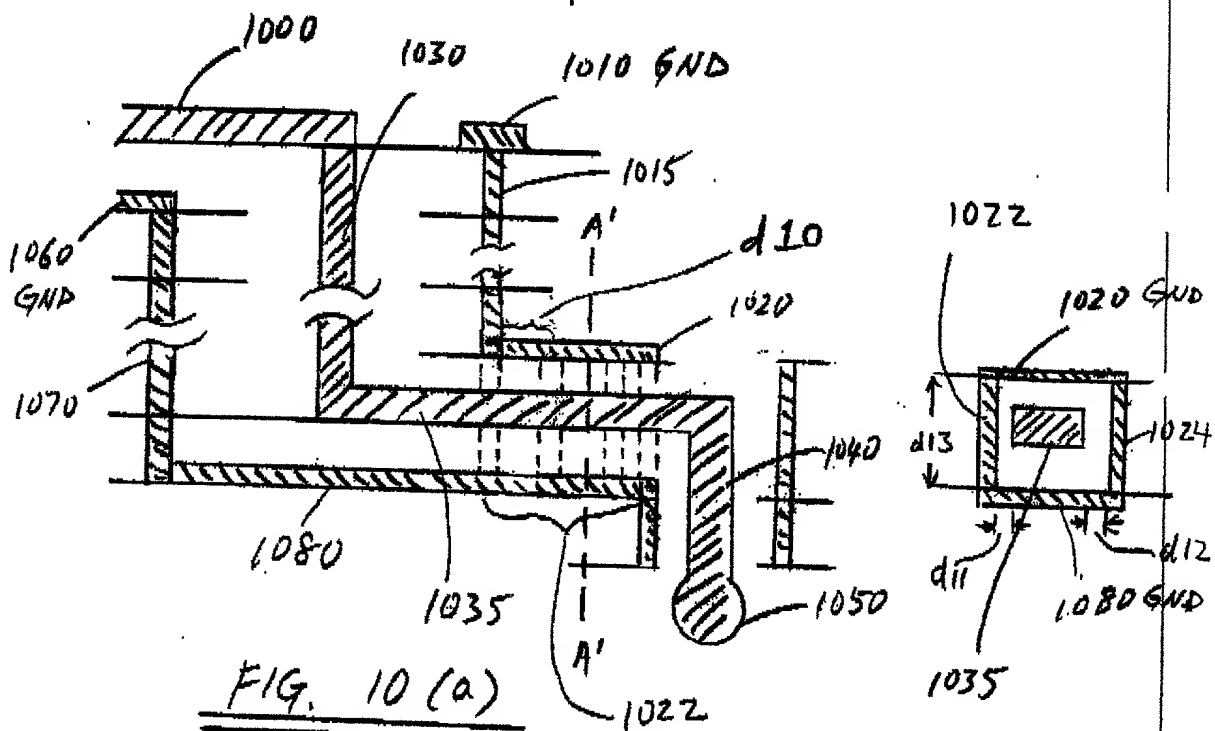


FIG. 10(a)

FIG. 10(b)

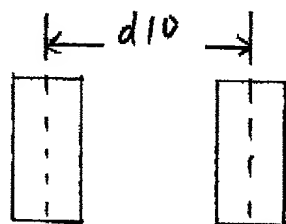


FIG. 10(c)

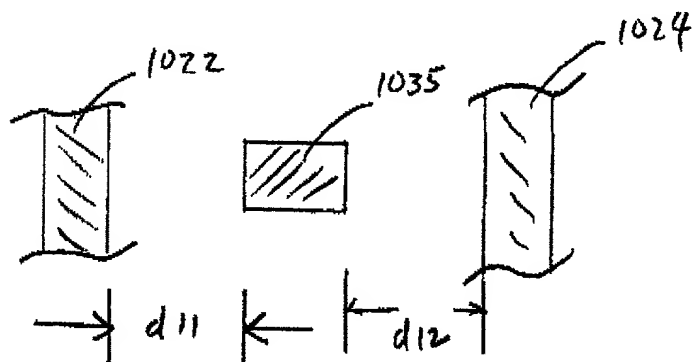


FIG. 10(d)

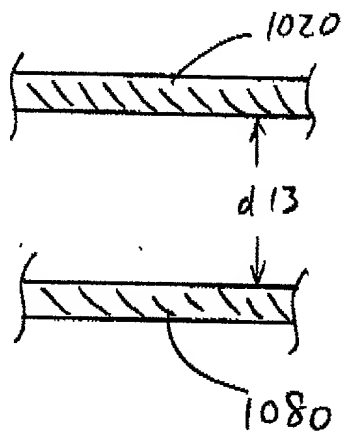


FIG. 10(e)

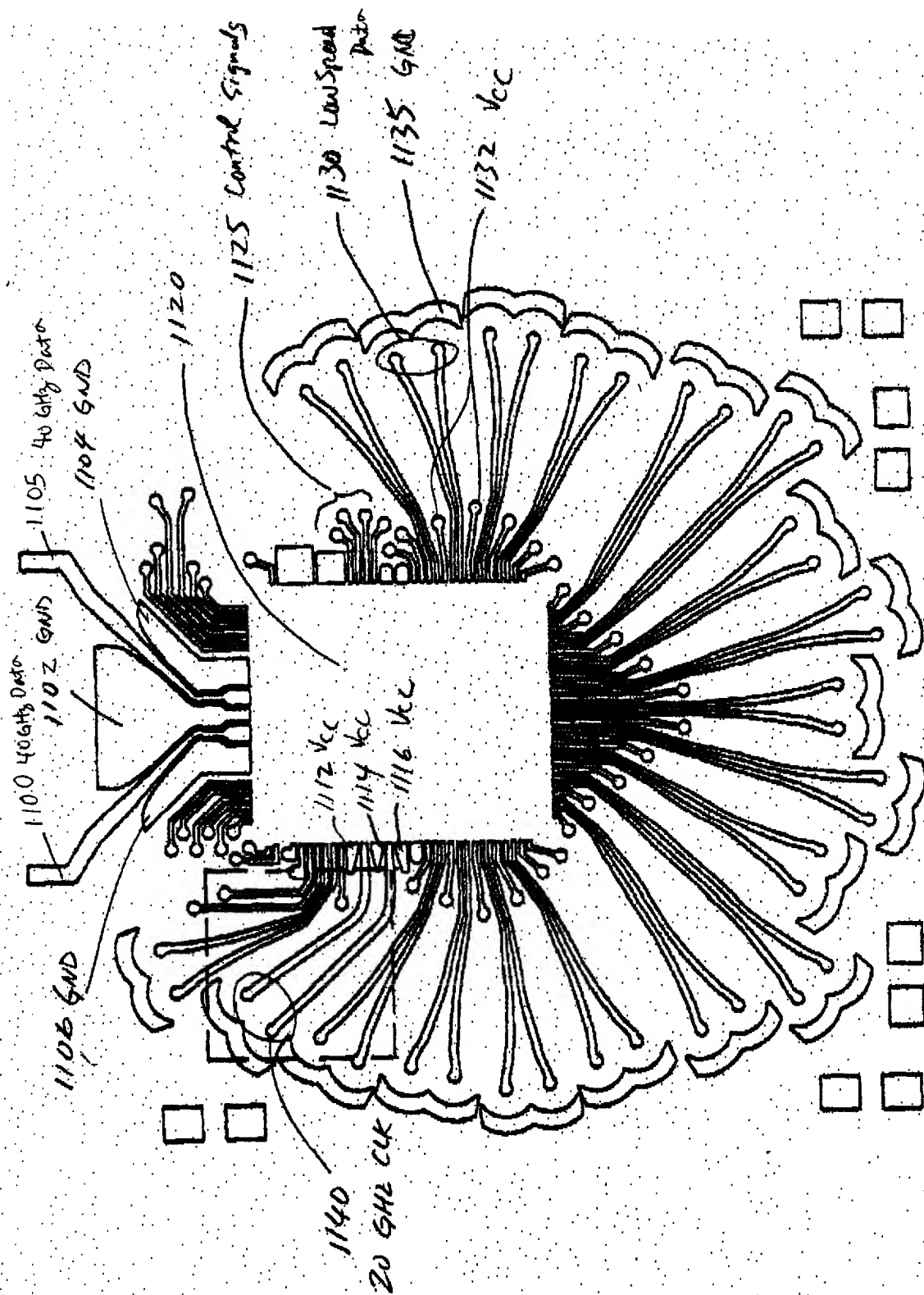


FIG. 11



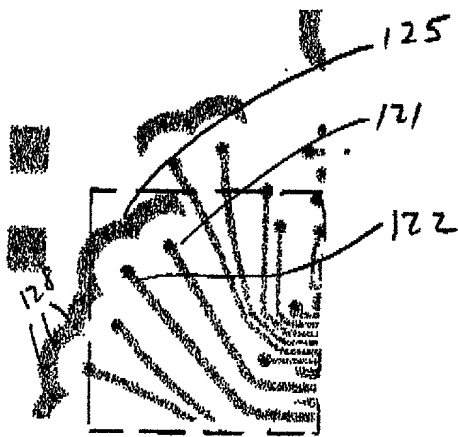


FIG. 12(a)

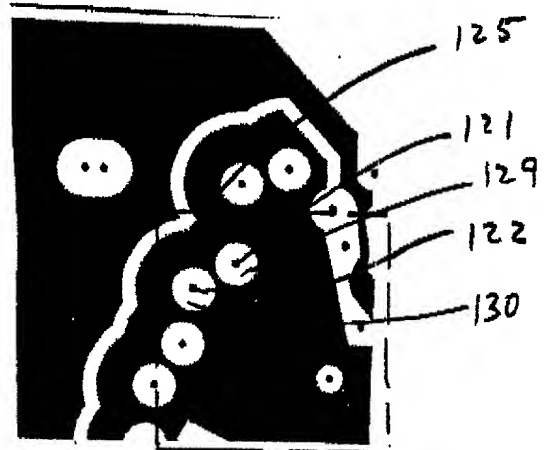


FIG. 12(b)

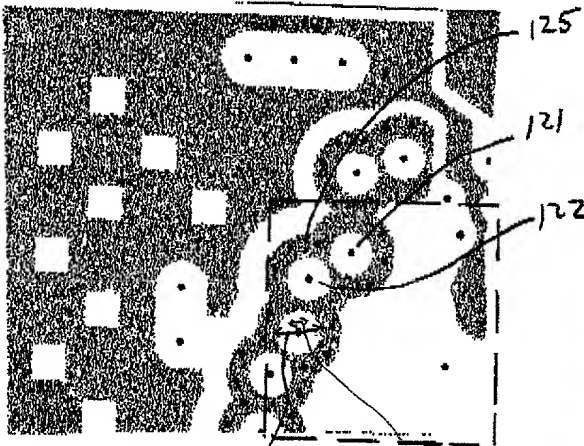


FIG. 12(c)

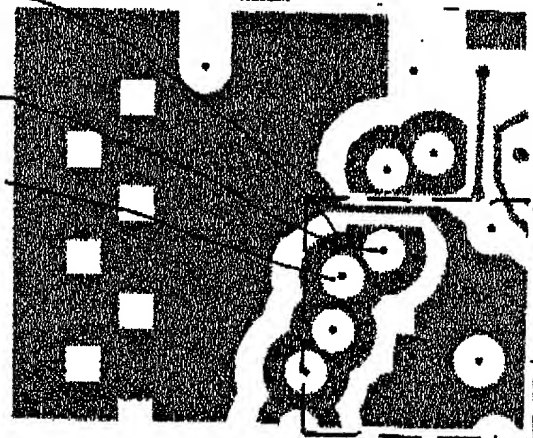


FIG. 12(d)

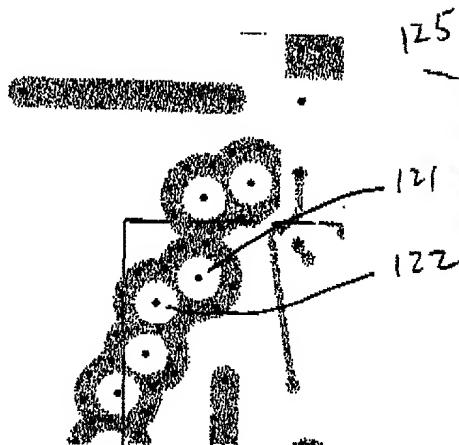


FIG. 12(e)

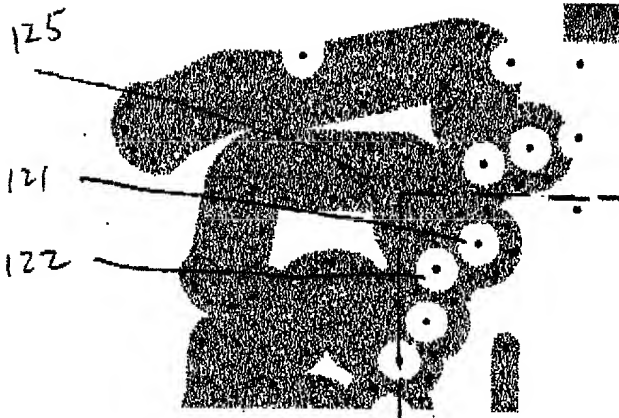


FIG. 12(f)

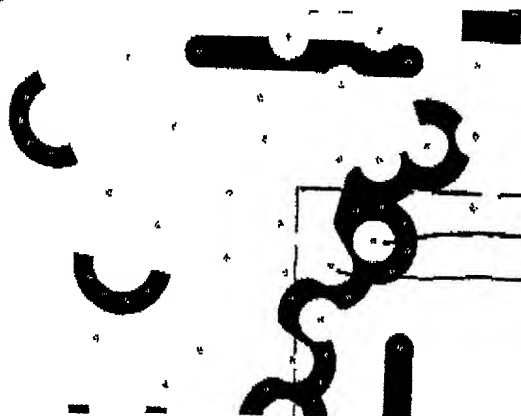


FIG. 12(g)

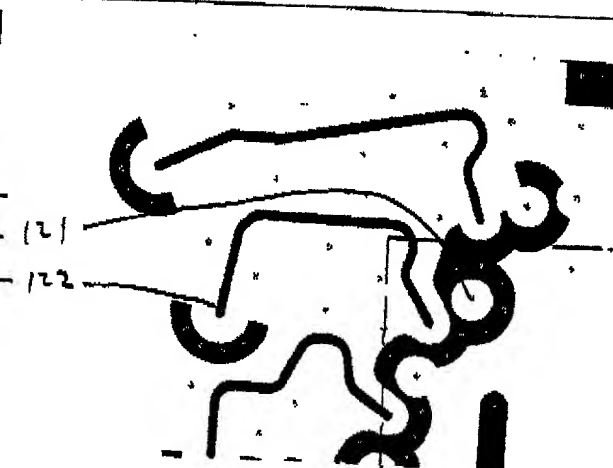


FIG. 12(h)

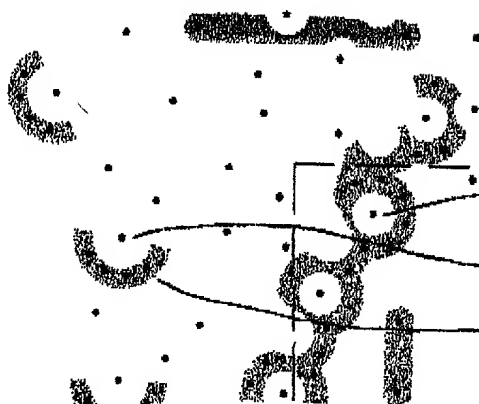


FIG. 12(i)

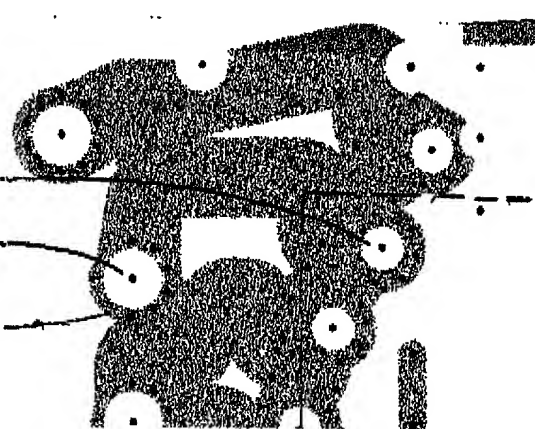


FIG. 12(j)

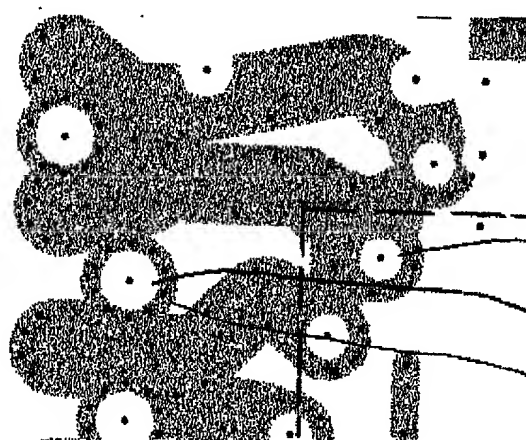


FIG. 12(k)

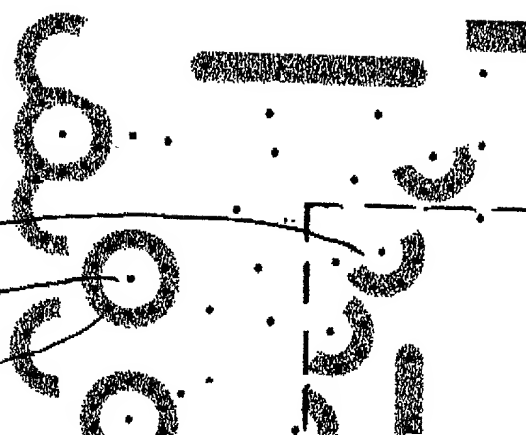


FIG. 12(l)

2025 RELEASE UNDER E.O. 14176

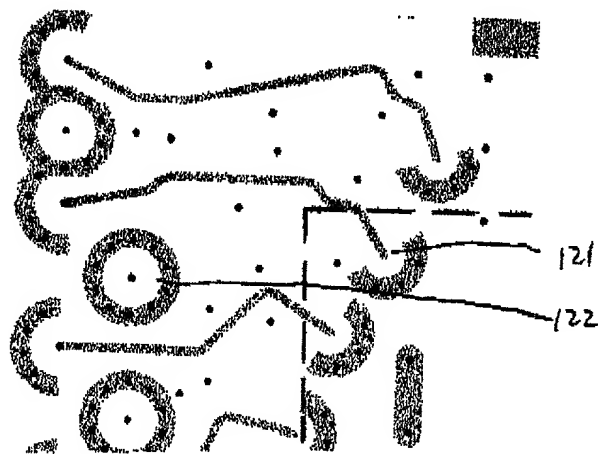


FIG. 12(m)

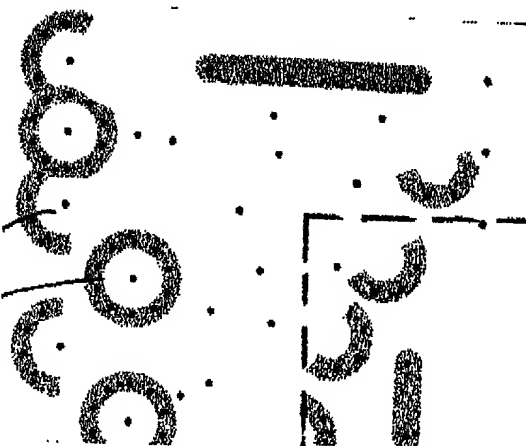


FIG. 12(n)

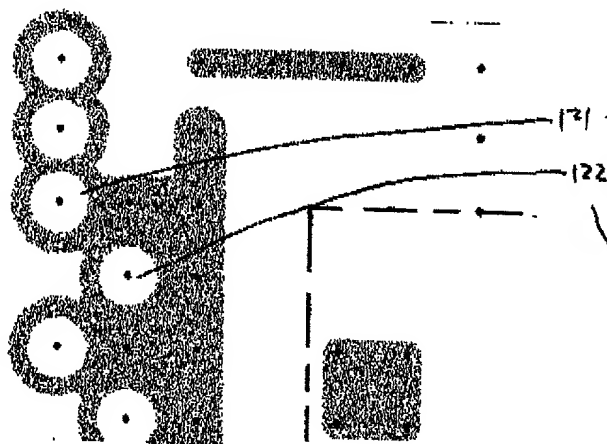


FIG. 12(o)

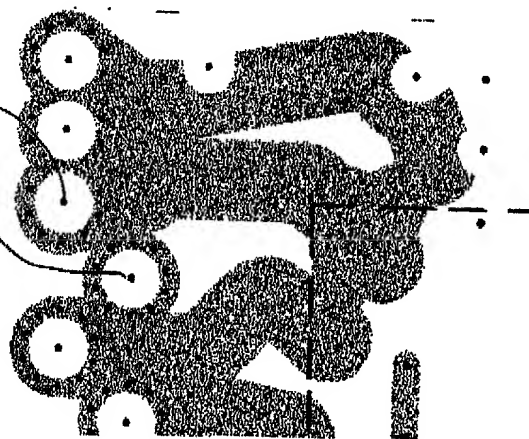


FIG. 12(p)

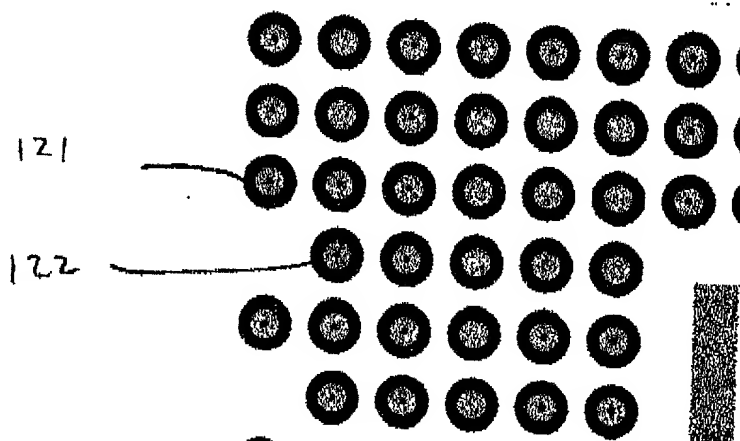


FIG. 12(q)